

文章编号: 1000-324X(2023)04-0445-07

DOI: 10.15541/jim20220767

## 基于 $\text{Al}_2\text{O}_3/\text{Chitosan}$ 叠层栅介质的 双栅 IGZO 神经形态晶体管

王靖瑜<sup>1</sup>, 万昌锦<sup>1</sup>, 万青<sup>1,2</sup>

(1. 南京大学 电子科学与工程学院, 南京 210093; 2. 浙江大学 微纳电子学院, 杭州 310027)

**摘要:** 基于铟镓锌氧(IGZO)的双电层(EDL)晶体管以低加工温度、良好的一致性以及丰富的离子动力学等优势, 在神经形态感知和计算系统中具有极大的潜在应用前景。然而, 双电层 IGZO 晶体管的高漏电( $>10 \text{ nA}$ )导致的高能耗以及异常电流尖峰/毛刺一直是相关神经形态计算发展的主要障碍之一。本研究提出了一种具有  $\text{Al}_2\text{O}_3/\text{壳聚糖}$ (Chitosan)叠层栅介质的新型 IGZO 神经形态晶体管。与单层壳聚糖栅介质晶体管相比, 引入  $\text{Al}_2\text{O}_3$  叠层的器件具有  $78.3 \text{ mV/decade}$  的低亚阈值摆幅, 在  $1.8 \text{ V}$  电压下  $1.3 \text{ nA}$  的低漏电流(降低约 98%),  $3.73 \text{ V}$  的大滞回窗口(提升 3.4 倍)以及  $0.86 \text{ nA}$  的低兴奋性突触后电流(降低约 97%), 单脉冲( $0.5 \text{ V}, 20 \text{ ms}$ )功耗仅为  $1.7 \text{ pJ}$ (降低约 96%)。此外, 研究还基于双栅 EDL 协同调控实现了尖峰突触功能的模拟和沟道电流的有效调制, 并有效规避突触塑性模拟中高漏电导致的非正常电流尖峰/毛刺。上述结果表明, 堆叠高 k 栅介质可以有效改善神经形态器件的漏电、功耗和性能, 为进一步开发超低功耗神经形态感知和计算系统提供了新的思路。

**关键词:** 神经形态器件; IGZO 晶体管; 人造突触; 叠层栅介质; 高 k 栅介质; 突触可塑性

中图分类号: TN321 文献标志码: A

### Dual-gate IGZO-based Neuromorphic Transistors with Stacked $\text{Al}_2\text{O}_3/\text{Chitosan}$ Gate Dielectrics

WANG Jingyu<sup>1</sup>, WAN Changjin<sup>1</sup>, WAN Qing<sup>1,2</sup>

(1. School of Electronic Science and Engineering, Nanjing University, Nanjing 210093, China; 2. School of Micro-Nano Electronics, Zhejiang University, Hangzhou 310027, China)

**Abstract:** Indium-gallium-zinc-oxide (IGZO)-based electric-double-layer (EDL) transistors have great applications for neuromorphic perception and computing systems because of their low processing temperature, high homogeneity, and plentiful ionic dynamics. However, IGZO-based EDL transistors have problems of high leakage current ( $>10 \text{ nA}$ ), high energy consumption and abnormal current spikes, which are the main obstacles to the development of neuromorphic computing systems based on such devices. In this work, a novel IGZO neuromorphic transistor with  $\text{Al}_2\text{O}_3/\text{chitosan}$  stacked gate dielectric was proposed. Compared with the monolayer chitosan gate dielectric transistor, the device with  $\text{Al}_2\text{O}_3/\text{chitosan}$  layer showed low subthreshold swing of  $78.3 \text{ mV/decade}$ , a low gate leakage current of

收稿日期: 2022-12-21; 收到修改稿日期: 2023-01-17; 网络出版日期: 2023-02-07

基金项目: 国家重点研发计划(2019YFB2205400); 国家自然科学基金(62074075, 61834001)

National Key Research and Development Program of China (2019YFB2205400); National Natural Science Foundation of China (62074075, 61834001)

作者简介: 王靖瑜(1998-), 女, 硕士研究生. E-mail: m13233021990@163.com

WANG Jingyu (1998-), female, Master candidate. E-mail: m13233021990@163.com

通信作者: 万青, 教授. E-mail: wanqing@nju.edu.cn

WAN Qing, professor. E-mail: wanqing@nju.edu.cn

1.3 nA (reduced by about 98%), a large hysteresis window of 3.73 V (increased by about 3.4 times), a low excitable postsynaptic current of 0.86 nA (decreased by about 97%) and an energy consumption of 1.7 pJ for a spike event (0.5 V, 20 ms). Additionally, the emulation of spiking synaptic function and the synergistically modulation of the channel current were also realized, and the abnormal current spike caused by high leakage in synaptic plasticity simulation was also effectively avoided. The results suggest that the inserting of high-k dielectric layer can effectively improve the leakage current, energy consumption and performance of neuromorphic devices, which has substantial value for future ultra-low energy consumption neuromorphic perception and computing systems.

**Key words:** neuromorphic device; IGZO-based transistor; artificial synapse; stacked gate dielectric; high-k dielectric; synaptic plasticity

随着科技发展，晶体管微缩已经接近物理与工艺极限，技术升级明显放缓，摩尔定律和传统冯·诺伊曼架构遇到了瓶颈。作为一种受人脑启发的革命性计算范式，神经形态计算能够实现更低功耗、更高效的超高密度并行数据处理，是下一代计算机架构强有力候选者之一，在图像识别、自适应学习等领域具有极强的应用前景<sup>[1-3]</sup>。人脑的信息传递与整合是通过神经元之间生物突触连接的增强和减弱来实现的，即突触塑性<sup>[4]</sup>。制备低功耗的人造突触器件，进而实现突触塑性模拟和类脑计算，是构建神经形态系统的优选之法。研究者们已提出大量的电子器件用以模仿突触，包括二端器件(忆阻器)、三端器件(电解质栅晶体管、铁电晶体管)等<sup>[5-13]</sup>。近年来，基于铟镓锌氧(IGZO)的双电层晶体管以其高迁移率、低加工温度、良好的均匀性、超大电容以及丰富的离子动力学而受到广泛关注<sup>[14]</sup>。双电层晶体管中栅介质独特的离子/电子界面耦合特性和电化学反应，与大脑中生物突触的离子动力学非常相似，这不仅使其在半导体器件领域中有独特的应用价值，而且使其可以更精确地模拟突触长期可塑性(LTP)、短期可塑性(STP)等突触基本功能<sup>[15-20]</sup>。这类器件在人造突触和神经形态计算系统等领域仍具有巨大的应用前景和开发空间。

尽管具有诸多优势，双电层 IGZO 晶体管的高漏电(>10 nA)、高能耗以及高漏电导致的非正常电流尖峰/毛刺一直是限制相关神经形态计算系统发展的主要障碍之一<sup>[21-22]</sup>。为此，必须改良或设计一种新型结构的神经形态晶体管。插入高 k 材料作为叠层栅介质来改善器件性能是一种很有前途的方法。如氧化铝(Al<sub>2</sub>O<sub>3</sub>)材料，其大带隙、致密的膜结构以及相对简单的制备方法有利于减少缺陷、界面电荷和载流子散射，并改善界面接触，这对于降低器件漏电流和提升器件性能大有裨益，因而氧化铝经常作为插入层被引入器件结构中<sup>[23-25]</sup>。Gao 等<sup>[26]</sup>

提出了一种具有 Al<sub>2</sub>O<sub>3</sub>/SiN<sub>x</sub> 叠层的高电子迁移率晶体管，该器件的漏电流显著降低，具有极高的击穿电压。Wei 等<sup>[27]</sup>提出了具有 Al<sub>2</sub>O<sub>3</sub>/h-BN 叠层栅介质的离子敏感场效应晶体管，通过引入 Al<sub>2</sub>O<sub>3</sub> 显著提升了器件的传感特性。综上所述，作为插入层 Al<sub>2</sub>O<sub>3</sub> 有望提高器件性能。

本工作对该想法进行了实验论证，制备了两组器件，一组是基于叠层 Al<sub>2</sub>O<sub>3</sub>/壳聚糖栅介质的双栅 IGZO 神经形态晶体管，一组则是基于壳聚糖的单层栅介质的器件。实验结果表明，添加高 k 材料栅介质叠层对提升器件性能大有帮助，这为进一步开发低能耗的稳定神经形态计算与感知系统提供了新的思路。

## 1 实验方法

### 1.1 神经形态晶体管的制备

图 1(a, b)给出了两种 IGZO 神经形态晶体管的器件结构示意图。除 Al<sub>2</sub>O<sub>3</sub> 叠层外，其他部分的制备条件保持一致，具体流程如下：1)依次用丙酮、乙醇和去离子水对 ITO 玻璃衬底进行 10 min 的超声清洗，并用氮气枪吹干备用。2)用电子台秤称取水、冰醋酸和壳聚糖粉末(质量比 50 : 1 : 1)，充分搅拌混合，最终得到 2%(质量体积比)的壳聚糖溶液。3)通过原子层沉积(ALD)在洗净的 ITO 玻璃基板上沉积 5.0 nm 的 Al<sub>2</sub>O<sub>3</sub> 薄膜，沉积温度为 150 °C，循环次数为 40 次(单层栅介质器件则无此步骤)。4)在 Al<sub>2</sub>O<sub>3</sub> 层上(单层栅介质器件则直接在 ITO 玻璃上)旋涂配置好的壳聚糖溶液，在室温下干燥约 24 h，获得约 10 μm 厚的壳聚糖固体栅介质层。5)在室温下通过磁控溅射沉积约 20 nm 厚度的 IGZO 沟道层(In、Ga、Zn 的原子比为 2 : 2 : 1)，其中电源功率、气压和氩气流量分别设定为 60 W, 0.4 Pa 和 30 sccm。6)利用热蒸发沉积铝金属薄膜作为器件的源、漏以及侧栅电极。

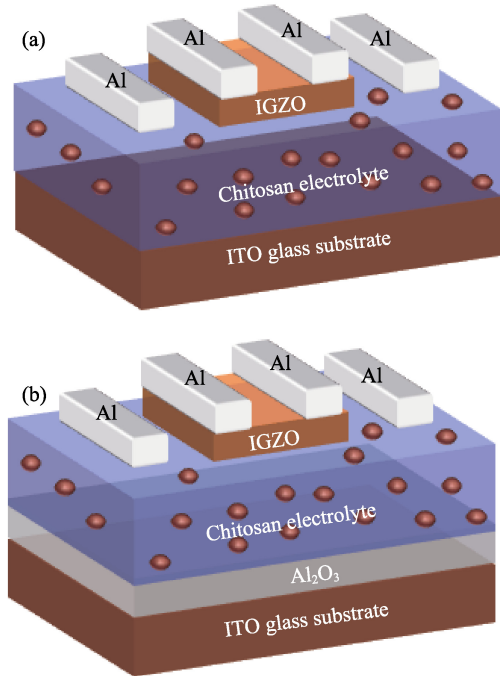


图 1 基于不同介质的 IGZO 神经形态晶体管的结构图

Fig. 1 Schematic diagram of the IGZO-based neuromorphic transistor with different gate dielectrics  
(a) Chitosan gate dielectric; (b) Stacked  $\text{Al}_2\text{O}_3/\text{chitosan}$  bilayer gate dielectric

## 1.2 晶体管的表征和测试

采用原子力显微镜(AFM, Asylum Cipher) 表征栅介质的表面形貌，并采用半导体参数分析仪(Keithley 2636B)和阻抗分析仪(HIOKI IM 3533-01 LCR meter)测试突触晶体管的电学性能和栅介质的电容特性。所有测试均在室温下进行。

## 2 结果与讨论

图 2(a, b)的插图显示了壳聚糖栅介质和  $\text{Al}_2\text{O}_3$  膜的 AFM 形貌，可以看出，利用 ALD 制备的  $\text{Al}_2\text{O}_3$  薄膜相较于壳聚糖固体栅介质表面粗糙度更小，形貌更加平整。平整的表面有利于改善界面接触，最大限度减少缺陷、界面电荷和载流子的散射，从而有助于构造具有更低亚阈值摆幅和更高电流开关比的高性能晶体管<sup>[28]</sup>。图 2(a, b)给出了单层、双层栅介质的漏电流曲线，即电流  $I_G$  随栅极电压  $V_G$  的变化曲线，可以发现， $\text{Al}_2\text{O}_3/\text{壳聚糖}$  叠层栅介质在 1.8 V 工作电压时产生约 1.3 nA 的漏电流，与单层栅介质的漏电流(66.4 nA)相比，减小了约 98%。这是由于引入  $\text{Al}_2\text{O}_3$  层增大了栅介质层的物理厚度和绝缘性，有效抑制了载流子隧穿电流，从而大幅降低了漏电流，这对于促进半导体的载流子输运、加强栅极对源漏电流的调控以及降低能耗至关重要，同时也有

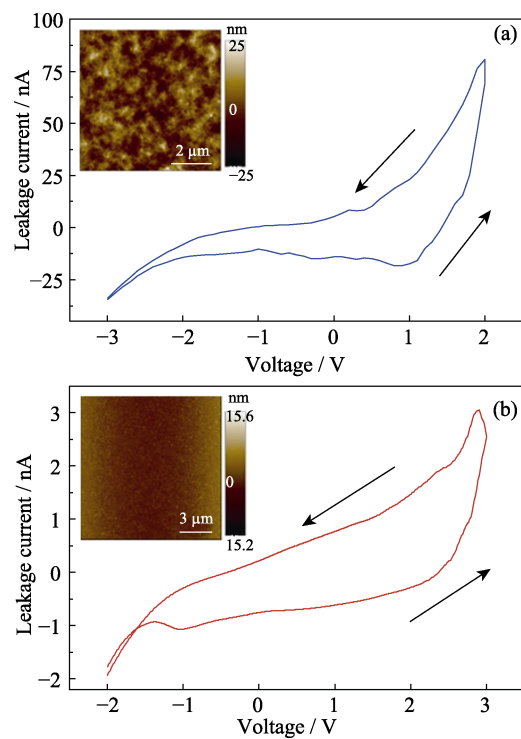


图 2 单层、双层栅介质的漏电流曲线及其 AFM 形貌(插图)  
Fig. 2 Leakage current curves and corresponding AFM images (inset) of monolayer gate dielectric and bilayer gate dielectric

(a) Chitosan solid dielectric; (b) Stacked  $\text{Al}_2\text{O}_3/\text{chitosan}$  bilayer gate dielectric (Inset: AFM image of  $\text{Al}_2\text{O}_3$  membrane)

利于减少后续突触塑性模拟过程中的非正常电流尖峰/毛刺<sup>[29-30]</sup>。图 3(a, b)显示了两组不同结构 IGZO 晶体管的转移曲线，其中器件线性区和饱和区的源漏电流( $I_{DS}$ )可用公式(1, 2)表示：

$$I_{DS} = \mu_{lin} \frac{C_i W}{2L} (V_G - V_{th}) V_{DS} \quad (1)$$

$$I_{DS} = \mu_{sat} \frac{C_i W}{2L} (V_G - V_{th})^2 \quad (2)$$

$$SS = \left[ \frac{d(\lg I_{DS})}{dV_G} \right]^{-1} \quad (3)$$

$$\mu_{sat} = \frac{2L}{C_i W} \left( \frac{d\sqrt{I_{DS}}}{dV_G} \right)^2 \quad (4)$$

其中， $L$  表示沟道长度(80  $\mu\text{m}$ )， $W$  表示沟道宽度(1000  $\mu\text{m}$ )， $C_i$  为栅介质单位面积的电容(测试得到单层壳聚糖栅介质和叠层  $\text{Al}_2\text{O}_3/\text{壳聚糖}$  栅介质的  $C_i$  分别为 2.23 和 1.91  $\mu\text{F}/\text{cm}^2$ )。两组转移曲线均存在一个明显的逆时针滞回窗口，这是由壳聚糖电解质中的离子迁移所致，引入  $\text{Al}_2\text{O}_3$  加强了这一现象，使逆时针滞回窗口宽度从 1.10 V 显著增大到 3.73 V，大的回滞窗口为后续突触功能模拟和神经形态系统的构建奠定了坚实的基础。表 1 汇总了两组晶体管

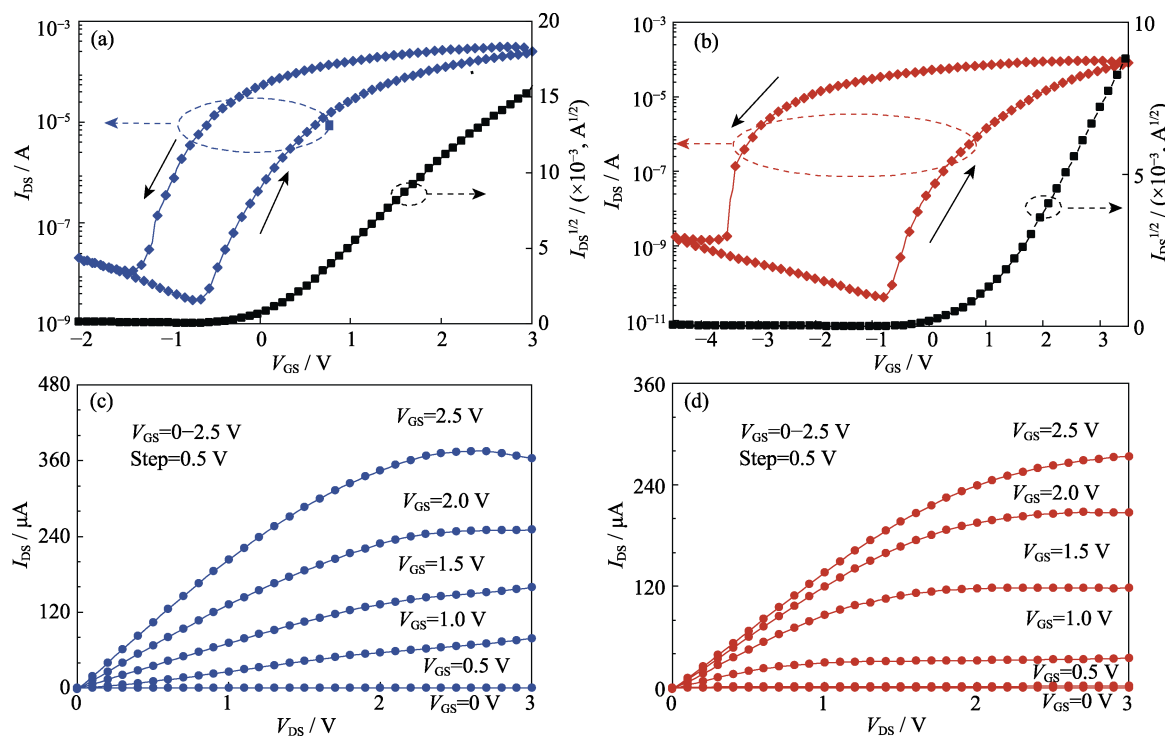


图3 两组不同结构IGZO晶体管的转移曲线和输出曲线

Fig. 3 Transfer characteristics and output characteristics of two kinds of dielectric devices

(a,b) Transfer characteristics of chitosan dielectric device (a) and stacked  $\text{Al}_2\text{O}_3/\text{chitosan}$  bilayer gate dielectric device (b); (c) Output characteristic of chitosan dielectric device; (d) Output characteristic of stacked  $\text{Al}_2\text{O}_3/\text{chitosan}$  bilayer gate dielectric device

的饱和迁移率、栅介质电容、电流开关比、亚阈值摆幅( $SS$ )等基本性能参数<sup>[31]</sup>。晶体管的亚阈值摆幅由公式(3)估算得出。器件饱和迁移率  $\mu_{\text{sat}}$  基于缓变沟道近似法和公式(4)给出。通过计算,可以得出叠层  $\text{Al}_2\text{O}_3/\text{壳聚糖}$  栅介质器件的  $\mu_{\text{sat}}$  为  $20.9 \text{ cm}^2 \cdot \text{V}^{-1} \cdot \text{s}^{-1}$ , 与单层壳聚糖栅介质器件( $18.0 \text{ cm}^2 \cdot \text{V}^{-1} \cdot \text{s}^{-1}$ )相比增长了 16%。图 3(c, d)是两组器件的输出曲线(栅电压  $V_{\text{GS}}$  从 0 V 逐渐增加到 2.5 V, 步长为 0.5 V), 由图可见, 当  $V_{\text{DS}}$  较低时, 两组器件均有明显的线性区域, 即具有良好的欧姆接触。不同的是, 加入  $\text{Al}_2\text{O}_3$  叠层的器件的输出曲线在饱和区域更加平直, 电流更加稳定, 这与  $\text{Al}_2\text{O}_3$  叠层对接触界面的改善有关。综上所述, 添加  $\text{Al}_2\text{O}_3$  插入层后, 晶体管的漏电流、电流开关比、亚阈值摆幅、饱和迁移率和滞回窗口宽度等均有明显改善。

此外, 还可以通过在调控栅极上施加电压来有效调制晶体管沟道层的电导<sup>[32]</sup>, 这对于实现不同逻辑功能和降低系统功耗非常有意义。图 4(a)是用光

学显微镜拍摄的器件俯视图, 当  $G_1$  作为栅电极,  $G_2$  被施加不同幅值的调制电压时, 器件的电导和转移曲线特性会发生变化, 如图 4(b)所示。器件的阈值电压( $V_{\text{th}}$ )取值为  $(I_{\text{DS}})^{1/2}$  与  $V_{G_1}$  的曲线与 X 轴的截距, 如图 4(c)所示。当  $V_{G_2}=0$  时, 器件的  $V_{\text{th}}$  为 0.7 V, 器件的关态电流约为  $4.20 \times 10^{-11} \text{ A}$ , 电流开关比约为  $2.20 \times 10^6$ 。当  $V_{G_2}=1.0 \text{ V}$  时, 器件的  $V_{\text{th}}$  为 -0.56 V。通过观察, 得出的规律是: 正调制电压会使器件的转移特性曲线向左偏移, 并使阈值电压降低; 相反, 负调控电压则会使器件向右偏移, 并使器件的阈值电压升高。这是因为负调制电压会进一步促进沟道的电子累积, 这种情况下需要更大的阈值电压使器件导通。以上器件特性对于在单个器件上实现多逻辑功能非常有意义, 有助于灵活调节器件电流并降低大规模集成电路的面积和功耗。

神经元和突触是人脑中最重要且基本的组成部分, 人脑中数百亿个突触和神经元相互连接, 从而

表1 两组IGZO神经形态晶体管的晶体管参数对比

Table 1 Transistor parameters of IGZO-based transistors

Gate dielectric	$I_{\text{off}}$	$I_{\text{on}}/I_{\text{off}}$ ratio	Subthreshold swing/ (mV·decade $^{-1}$ )	Hysteresis window/V	Leakage current ( $V_G=1.8 \text{ V}$ )/nA	$\mu_{\text{sat}}/$ ( $\text{cm}^2 \cdot \text{V}^{-1} \cdot \text{s}^{-1}$ )
Chitosan	$2.92 \times 10^{-9}$	$1.06 \times 10^5$	98.8	1.10	66.4	18.0
Chitosan/ $\text{Al}_2\text{O}_3$	$4.20 \times 10^{-11}$	$2.20 \times 10^6$	78.3	3.73	1.3	20.9

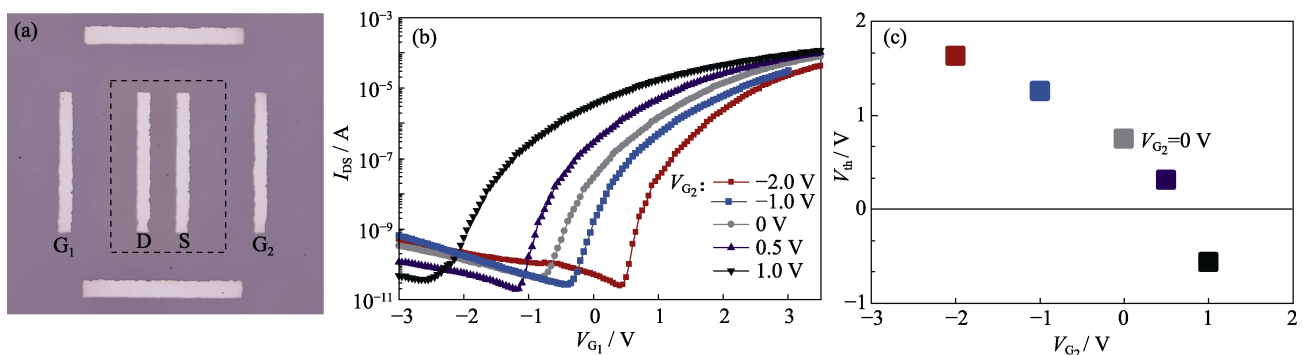


图 4 晶体管的顶部光学显微镜照片(a), 在不同  $V_{G_2}$  下(范围为-2.0 V 至 1.0 V)的晶体管转移曲线(b)及不同  $V_{G_2}$  下的器件阈值电压变化(c)

Fig. 4 (a) Top micrograph, (b) transfer characteristics with different  $V_{G_2}$  (from -2.0 V to 1.0 V) and (c) the  $V_{th}$  with different  $V_{G_2}$  of transistor

实现信息传递和整合。图 5(a)显示了生物突触的简化示意图, 生物突触由突触前膜、突触后膜及突触间隙组成。当突触前膜受到生物脉冲刺激后, 会产生相应的动作电位开启钙离子运输通道, 钙离子在突触间隙中扩散并使得突触释放出神经递质, 然后与突触后膜上的受体相结合, 这个过程会产生突触后神经元兴奋电流, 称为兴奋性突触后电流 (EPSC)。在本研究中, 突触前刺激通过在晶体管栅极上施加电压脉冲来模拟, 突触后电流则通过源漏极施加读取电压时( $V_{DS}=0.1$  V), 阳离子开始定向移动, 在沟道/栅介质界面处积累, 最终形成巨大的双电层电容并产生一个约 24 nA 的 EPSC 峰值, 脉冲结束后, 阳离子慢慢扩散回原位, 使得沟道电流回复稳定, 这个过程大约需要数秒。测试获得的 EPSC 峰值是栅漏电流、源漏电流以及寄生电容充放电电流叠加后的最终值。如图 5(b)所示, 单层壳聚糖栅介质器件由于漏电流较大且较难抵消, 器件在 EPSC 产生前会

产生异常电流尖峰, 即一个约为-5 nA 的负向电流尖峰, 这明显不利于突触功能的稳定模拟。在发生这种情况时, 通常会通过增大脉冲幅值或源、漏读取电压来覆盖漏电流, 而这不利于降低功耗和精准模拟突触塑性。对于以  $\text{Al}_2\text{O}_3/\text{壳聚糖}$  为叠层栅介质的晶体管而言, 在同样的测试条件下, 器件的漏电明显降低, 这有利于在更低电压脉冲和源漏电压条件下避免异常电流尖峰的出现。此外, 叠层器件产生的 EPSC 峰值为 0.86 nA, 远远低于单层壳聚糖栅介质器件(24 nA, 降低约 97%), 则单脉冲刺激所产生的能耗也会大幅降低, 这对于构建低功耗神经形态系统非常有意义。通过查阅文献, 本课题组汇总了不同结构神经形态晶体管的 EPSC 数据, 如表 2 所示, 相比之下, 本研究的晶体管产生的电流幅值(0.86 nA)远远小于其他结构的器件, EPSC 行为的能耗也将有所降低。其中, 单脉冲 EPSC 行为的能耗根据公式(5)估算。

$$E = I_{peak} \times t \times V_{DS} \quad (5)$$

此外, 如图 5(c)所示, 当叠层栅介质晶体管栅极所

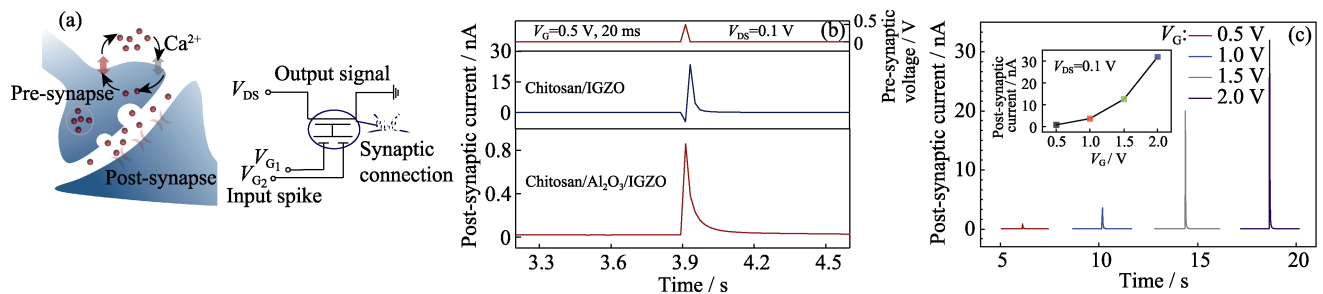


图 5 (a)生物突触结构示意图以及叠层  $\text{Al}_2\text{O}_3/\text{壳聚糖}$  栅介质突触晶体管的等效电路图,(b)0.5 V, 20 ms 电脉冲下的两组器件的 EPSC 响应,(c)叠层  $\text{Al}_2\text{O}_3/\text{壳聚糖}$  栅介质晶体管在不同振幅的电脉冲诱发的 EPSC

Fig. 5 (a) Schematic diagram of biological synapse and their equivalent electrical circuit of the neuromorphic transistor, (b) EPSC responses under an electric pulse of 0.5 V, and (c) EPSC induced by electric pulses of different amplitudes for IGZO-based dual-gate transistor with stacked  $\text{Al}_2\text{O}_3/\text{chitosan}$  gate dielectrics

表2 不同结构的人工突触晶体管的EPSC能耗对比

Table 2 Energy consumption of the single EPSC peak in different artificial synaptic transistors

Structure	$V_{DS}/V$	$V_G$ pulse	EPSC/nA	Energy consumption/(pJ·spike <sup>-1</sup> )	Ref.
Nanogranular SiO <sub>2</sub> /IZO	1.0	0.8 V, 20 ms	5000	10 <sup>5</sup>	[33]
GO+Chitosan/IGZO	0.1	0.5 V, 20 ms	14	28	[34]
Carbon Nanotube (CNT)	0.5	4.0 V, 1.0 ms	15	7.5	[35]
Chitosan/IZO	0.1	0.5 V, 25 ms	2.6	6.5	[36]
Chitosan/IWO	0.1	0.2 V, 20 ms	4.7	9.4	[37]
Chitosan/IGZO	0.1	0.5 V, 20 ms	26	52	[38]
Tungsten oxide	0.3	0.6 V, 70 ms	3.8	79	[39]
Chitosan/IGZO	0.1	0.5 V, 20 ms	24	48	This work
Chitosan/Al <sub>2</sub> O <sub>3</sub> /IGZO	0.1	0.5 V, 20 ms	0.86	1.7	This work

加脉冲幅值变化时, EPSC 峰值也会发生变化, 这与生物突触对不同强度刺激的反应不同相类似, 是短程突触可塑性的重要表现。多脉冲易化是神经形态计算系统处理时序信息的关键原理之一<sup>[40]</sup>。如图 6(a) 所示, 当连续八个脉冲(0.5 V, 25 ms)刺激叠层栅介质晶体管栅极时, 第八个脉冲引发的 EPSC 的幅值( $A_8$ )约为第一个刺激( $A_1$ )的 5.5 倍, 即易化率  $A_8/A_1$  为 552%。这是因为当第一个脉冲刺激过后, 电解质中的质子会发生扩散, 经一定弛豫时间后恢复平衡位置, 当多个脉冲之间的时间间隔小于质子的弛豫

时间时, 残余未恢复的质子会与后一个脉冲激发的质子叠加, 从而使得 EPSC 幅值增加, 这是多脉冲易化的产生机制。为进一步调控多脉冲易化, 可以改变脉冲的间隔时间, 图 6(b) 显示了突触晶体管的易化率随脉冲时间间隔的变化趋势, 随着脉冲间隔延长, 扩散回平衡位置的质子比例增大, 则易化率逐渐降低, 最终趋于 100%。根据以上现象可以设计一个基于叠层 Al<sub>2</sub>O<sub>3</sub>/壳聚糖栅介质突触晶体管的信号滤波器, 当信号频率高于 1 Hz 时, 器件会产生 EPSC 增强响应, 且增强幅度随信号频率增加而增加; 当信号频率低于 1 Hz 时, 则对刺激信号产生屏蔽效应。上述结果均表明, 叠层栅介质晶体管可以较好地模仿 EPSC 和多脉冲易化等生物突触功能, 为后续模拟更多突触功能和构建神经形态系统奠定了基础。

### 3 结论

本研究研制了一种采用 Al<sub>2</sub>O<sub>3</sub>/壳聚糖叠层栅介质的新型 IGZO 神经形态晶体管。通过对比发现, 采用叠层栅介质的器件具有 78.3 mV/decade 的低亚阈值摆幅, 在 1.8 V 工作电压下 1.3 nA 的低漏电流(降低约 98%), 3.73 V 的大滞回窗口(提升 4.3 倍)以及 0.86 nA 的低兴奋性突触后电流(降低约 97%), 单脉冲(0.5 V, 20 ms)功耗为 1.7 pJ(降低约 96%)。此外, 研究还利用双电层效应及双栅协同调控实现了电流的有效调控和突触尖峰功能的模拟, 并有效规避突触塑性模拟中由于高漏电导致的非正常电流尖峰。上述这些结果表明, 添加高 k 栅介质叠层对改善神经形态器件的漏电、功耗和性能大有帮助, 为进一步开发超功耗的神经形态感知与计算系统提供了有效技术途径。

### 参考文献:

- [1] ROY K, JAISWAL A, PANDA P. Towards spike-based machine

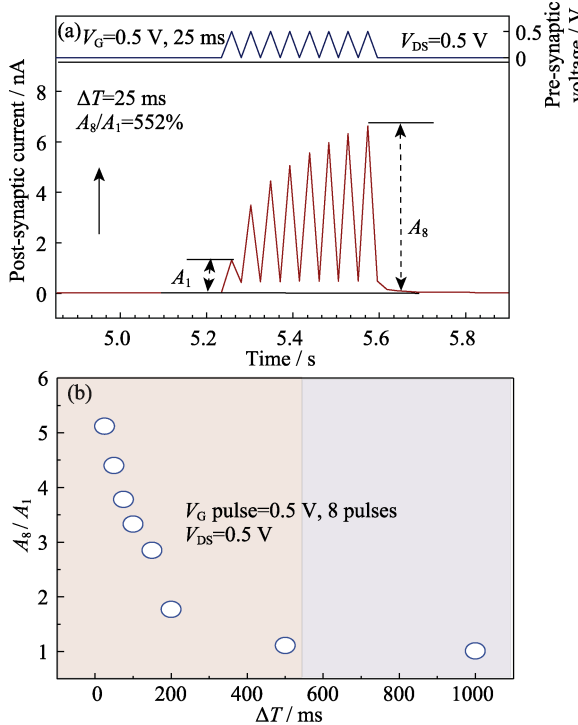


图6 叠层 Al<sub>2</sub>O<sub>3</sub>/壳聚糖栅介质晶体管的(a)八个连续电脉冲(0.5 V, 25 ms)激发的多脉冲易化现象和(b)  $A_8/A_1$  的比值与脉冲时间间隔的关系图

Fig. 6 (a) Multi-pulse facilitation induced by eight successive electric pulse (0.5 V, 25 ms) and (b) ratio of  $A_8/A_1$  plotted as a function of the time interval between the pulses for IGZO-based dual-gate transistor with stacked Al<sub>2</sub>O<sub>3</sub>/chitosan gate dielectrics

- intelligence with neuromorphic computing. *Nature*, 2019, **575(7784)**: 607.
- [2] YU S. Neuro-inspired computing with emerging nonvolatile memorys. *Proceedings of the IEEE*, 2018, **106(2)**: 260.
- [3] PREZIOSO M, MERRIKH-BAYAT F, HOSKINS B D, et al. Training and operation of an integrated neuromorphic network based on metal-oxide memristors. *Nature*, 2015, **521(7550)**: 61.
- [4] ZHU Y, ZHU Y, MAO H, et al. Recent advances in emerging neuromorphic computing and perception devices. *Journal of Physics D: Applied Physics*, 2021, **55(5)**: 053002.
- [5] YOU Z, RAMANATHAN S. Mott memory and neuromorphic devices. *Proceedings of the IEEE*, 2015, **103(8)**: 1289.
- [6] WANG J, LI Y, YIN C, et al. Long-term depression mimicked in an IGZO-based synaptic transistor. *IEEE Electron Device Letters*, 2017, **38(2)**: 191.
- [7] PARK Y J, KWON H T, KIM B, et al. 3-D stacked synapse array based on charge-trap flash memory for implementation of deep neural networks. *IEEE Transactions on Electron Devices*, 2019, **66(1)**: 420.
- [8] YAN W, PAGE A, NGUYEN-DANG T, et al. Advanced multi-material electronic and optoelectronic fibers and textiles. *Advanced Materials*, 2019, **31(1)**: e1802348.
- [9] YAN W, QU Y, GUPTA T D, et al. Semiconducting nanowire-based optoelectronic fibers. *Advanced Materials*, 2017, **29(27)**: 1700681.
- [10] GKOUPIDENIS P, KOUTSOURAS D A, LONJARET T, et al. Orientation selectivity in a multi-gated organic electrochemical transistor. *Scientific Reports*, 2016, **6**: 27007.
- [11] KIM M K, LEE J S. Ferroelectric analog synaptic transistors. *Nano Letters*, 2019, **19(3)**: 2044.
- [12] ZHU Y, MAO H, ZHU Y, et al. Photoelectric synapse based on InGaZnO nanofibers for high precision neuromorphic computing. *IEEE Electron Device Letters*, 2022, **43(4)**: 651.
- [13] MAO H, HE Y, CHEN C, et al. A spiking stochastic neuron based on stacked InGaZnO memristors. *Advanced Electronic Materials*, 2021, **8(2)**: 2100918.
- [14] JIANG J, WAN Q, SUN J, et al. Ultralow-voltage transparent electric-double-layer thin-film transistors processed at room-temperature. *Applied Physics Letters*, 2009, **95 (15)**: 152114.
- [15] VAN DE BURGT Y, MELIANAS A, KEENE S T, et al. Organic electronics for neuromorphic computing. *Nature Electronics*, 2018, **1(7)**: 386.
- [16] HE Y, YANG Y, NIE S, et al. Electric-double-layer transistors for synaptic devices and neuromorphic systems. *Journal of Materials Chemistry C*, 2018, **6(20)**: 5336.
- [17] HE Y, NIE S, LIU R, et al. Dual-functional long-term plasticity emulated in IGZO-based photoelectric neuromorphic transistors. *IEEE Electron Device Letters*, 2019, **40(5)**: 818.
- [18] KIM J, KIM Y, KWON O, et al. Modulation of synaptic plasticity mimicked in Al nanoparticle-embedded IGZO synaptic transistor. *Advanced Electronic Materials*, 2020, **6(4)**: 1901072.
- [19] ZHU Y, HE Y, JIANG S, et al. Indium-gallium-zinc-oxide thin-film transistors: materials, devices, and applications. *Journal of Semiconductors*, 2021, **42(3)**: 031101.
- [20] JANG Y, PARK J, KANG J, et al. Amorphous InGaZnO (a-IGZO) synaptic transistor for neuromorphic computing. *ACS Applied Electronic Materials*, 2022, **4(4)**: 1427.
- [21] VAN DE BURGT Y, LUBBERMAN E, FULLER E J, et al. A non-volatile organic electrochemical device as a low-voltage artificial synapse for neuromorphic computing. *Nature Materials*, 2017, **16(4)**: 414.
- [22] KUZUM D, JEYASINGH R G, LEE B, et al. Nanoelectronic programmable synapses based on phase change materials for brain-inspired computing. *Nano Letters*, 2012, **12(5)**: 2179.
- [23] KIM C, FACCHETTI A, MARKS T J. Gate dielectric microstructural control of pentacene film growth mode and field-effect transistor performance. *Advanced Materials*, 2007, **19(18)**: 2561.
- [24] WANG B, HUANG W, CHI L, et al. High-k gate dielectrics for emerging flexible and stretchable electronics. *Chemical Reviews*, 2018, **118(11)**: 5690.
- [25] ZHOU J, LIU Y, SHI Y, et al. Solution-processed chitosan-gated IZO-based transistors for mimicking synaptic plasticity. *IEEE Electron Device Letters*, 2014, **35(2)**: 280.
- [26] GAO S, ZHOU Q, LIU X, et al. Breakdown enhancement and current collapse suppression in AlGaN/GaN HEMT by NiO<sub>x</sub>/SiN<sub>x</sub> and Al<sub>2</sub>O<sub>3</sub>/SiN<sub>x</sub> as gate dielectric layer and passivation layer. *IEEE Electron Device Letters*, 2019, **40(12)**: 1921.
- [27] WEI W, ZENG Z, LIAO W, et al. Extended gate ion-sensitive field-effect transistors using Al<sub>2</sub>O<sub>3</sub>/hexagonal boron nitride nanolayers for ph sensing. *ACS Applied Nano Materials*, 2019, **3(1)**: 403.
- [28] PALASANTZAS G, HOSSON J D, and BARNAS J. Surface/interface roughness effects on magneto-electrical properties of thin films. *Surface Science*, 2002, **507-510**: 541.
- [29] LI J, WU J, LIU J, et al. Effect of composition, interface, and deposition sequence on electrical properties of nanolayered Ta<sub>2</sub>O<sub>5</sub>-Al<sub>2</sub>O<sub>3</sub> films grown on silicon by atomic layer deposition. *Nanoscale Research Letters*, 2019, **14(1)**: 75.
- [30] CHOE M, JO G, MAENG J, et al. Electrical properties of ZnO nanowire field effect transistors with varying high-k Al<sub>2</sub>O<sub>3</sub> dielectric thickness. *Journal of Applied Physics*, 2010, **107(3)**: 034504.
- [31] FORTUNATO E, BARQUINHA P, MARTINS R. Oxide semiconductor thin-film transistors: a review of recent advances. *Advanced Materials*, 2012, **24(22)**: 2945.
- [32] ZHU L Q, CHAO J Y, XIAO H, et al. Chitosan-based electrolyte gated low voltage oxide transistor with a coplanar modulatory terminal. *IEEE Electron Device Letters*, 2017, **38(3)**: 322.
- [33] WAN X, HE Y, NIE S, et al. Biological band-pass filtering emulated by oxide-based neuromorphic transistors. *IEEE Electron Device Letters*, 2018, **39(11)**: 1764.
- [34] NIE S, HE Y, LIU R, et al. Low-voltage oxide-based synaptic transistors for spiking humidity detection. *IEEE Electron Device Letters*, 2019, **40(3)**: 459.
- [35] KIM K, CHEN C L, TRUONG Q, et al. A carbon nanotube synapse with dynamic logic and learning. *Advanced Materials*, 2013, **25(12)**: 1693.
- [36] JIANG S, HE Y, LIU R, et al. Synaptic metaplasticity emulation in a freestanding oxide-based neuromorphic transistor with dual in-plane gates. *Journal of Physics D: Applied Physics*, 2021, **54(18)**: 185106.
- [37] LIU R, HE Y, JIANG S, et al. Synaptic plasticity and classical conditioning mimicked in single indium-tungsten-oxide based neuromorphic transistor. *Chinese Physics B*, 2021, **30(5)**: 058102.
- [38] ZHANG C, LI S, HE Y, et al. Oxide synaptic transistors coupled with triboelectric nanogenerators for bio-inspired tactile sensing application. *IEEE Electron Device Letters*, 2020, **41(4)**: 617.
- [39] YANG J T, GE C, DU J Y, et al. Artificial synapses emulated by an electrolyte-gated tungsten-oxide transistor. *Advanced Materials*, 2018, **30(34)**: e1801548.
- [40] ZIEGLER M, KOHLSTEDT H. Mimic synaptic behavior with a single floating gate transistor: a memflash synapse. *Journal of Applied Physics*, 2013, **114(19)**: 194506.